





# ПРИМЕНЕНИЕ КОСМИЧЕСКОЙ СЪЕМКИ ВЫСОКОГО РАЗРЕШЕНИЯ ДЛЯ ОПРЕДЕЛЕНИЯ СКОРОСТИ ТЕРМОДЕНУДАЦИИ И ТЕРМОАБРАЗИИ НА ЗАПАДНОМ ПОБЕРЕЖЬЕ ОСТРОВА КОЛГУЕВ

А.И.Кизяков, М.В.Зимин\*, М.О.Лейбман\*\*, Н.В.Правикова\*\*\*

Московский государственный университет имени М.В.Ломоносова, географический факультет,

- \* Инженерно-технологический центр «СКАНЭКС» (ИТЦ СКАНЭКС)
- \*\* Институт криосферы Земли СО РАН
- \*\*\* Московский государственный университет имени М.В.Ломоносова, геологический факультет



# Термоцирки и термотеррасы на участках вскрытия пластовых льдов в береговых уступах





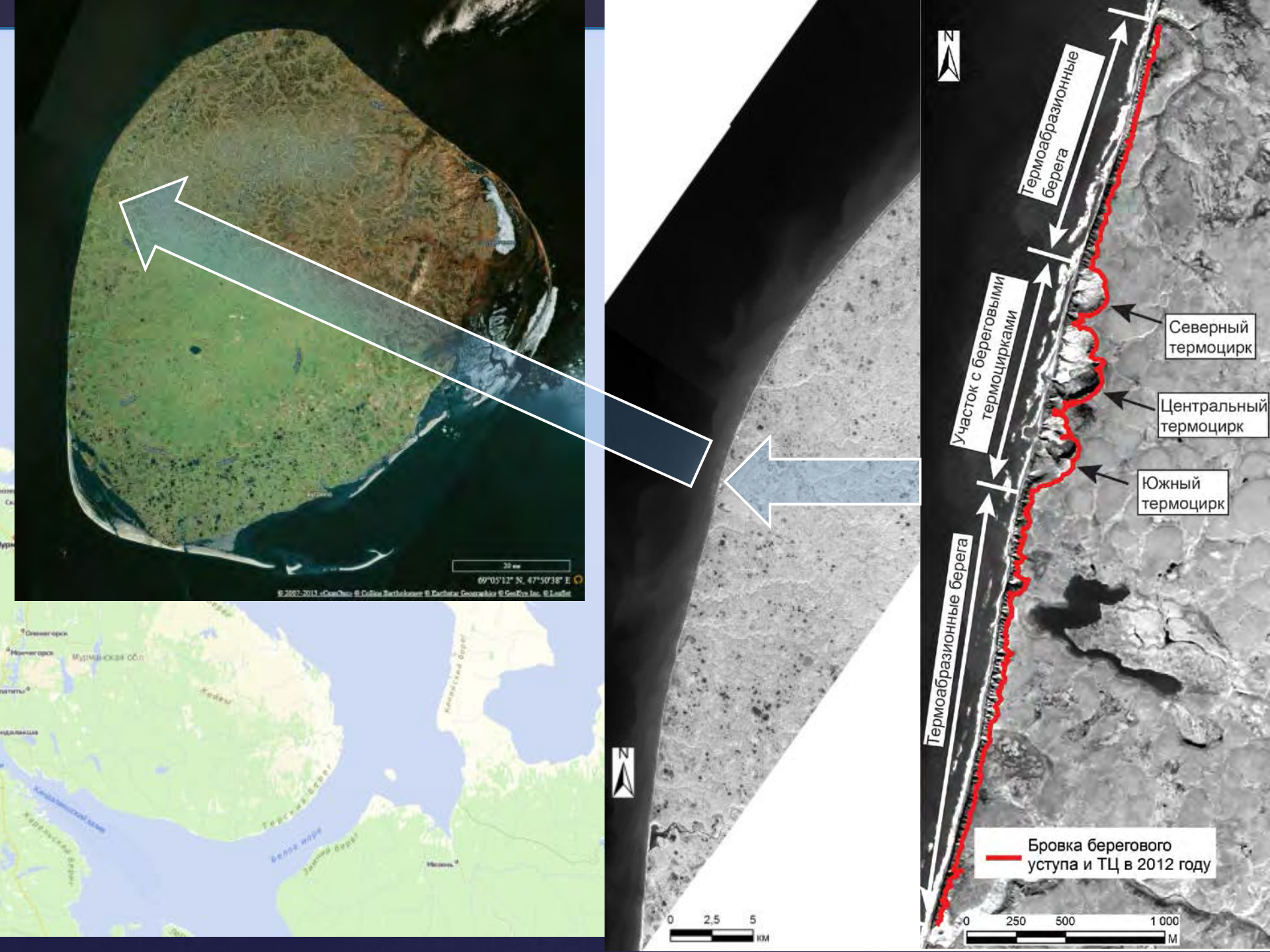


### Цель и задачи настоящего исследования

<u>Цель</u> – определить современные скорости отступания берегов и роста термоцирков и в условиях отсутствия возможности получить полевые данные, дополнить имеющиеся сведения о скоростях термоденудации и термоабразии на о.Колгуев.

### Задачи:

- собрать и обобщить имеющиеся данные по динамике берегов Западного Колгуева,
- оценить применимость космических снимков высокого и сверхвысокого пространственного разрешения для определения скоростей разрушения морских берегов,
- по материалам ДЗЗ определить качественные и количественные характеристики процессов термоденудации термоабразии берегов Западного Колгуева,
  - выявить современные скорости термоденудации и термоабразии.



Береговые уступы на ключевом участке





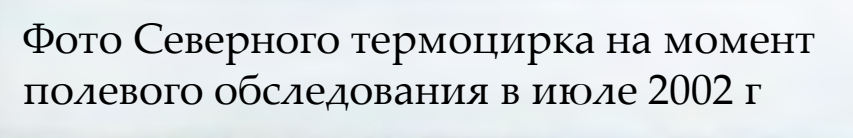


Схема строения береговых уступов западного побережья острова Колгуев южнее устья реки Саучиха (составлено по полевым материалам и данным М.А.Великоцкого,1998, 2001)



Волноприбойные ниши в основании береговых уступов

**GeoEye** 2009/09/04









# Материалы, использованные для определения скоростей отступания береговой линии и роста береговых ТЦ

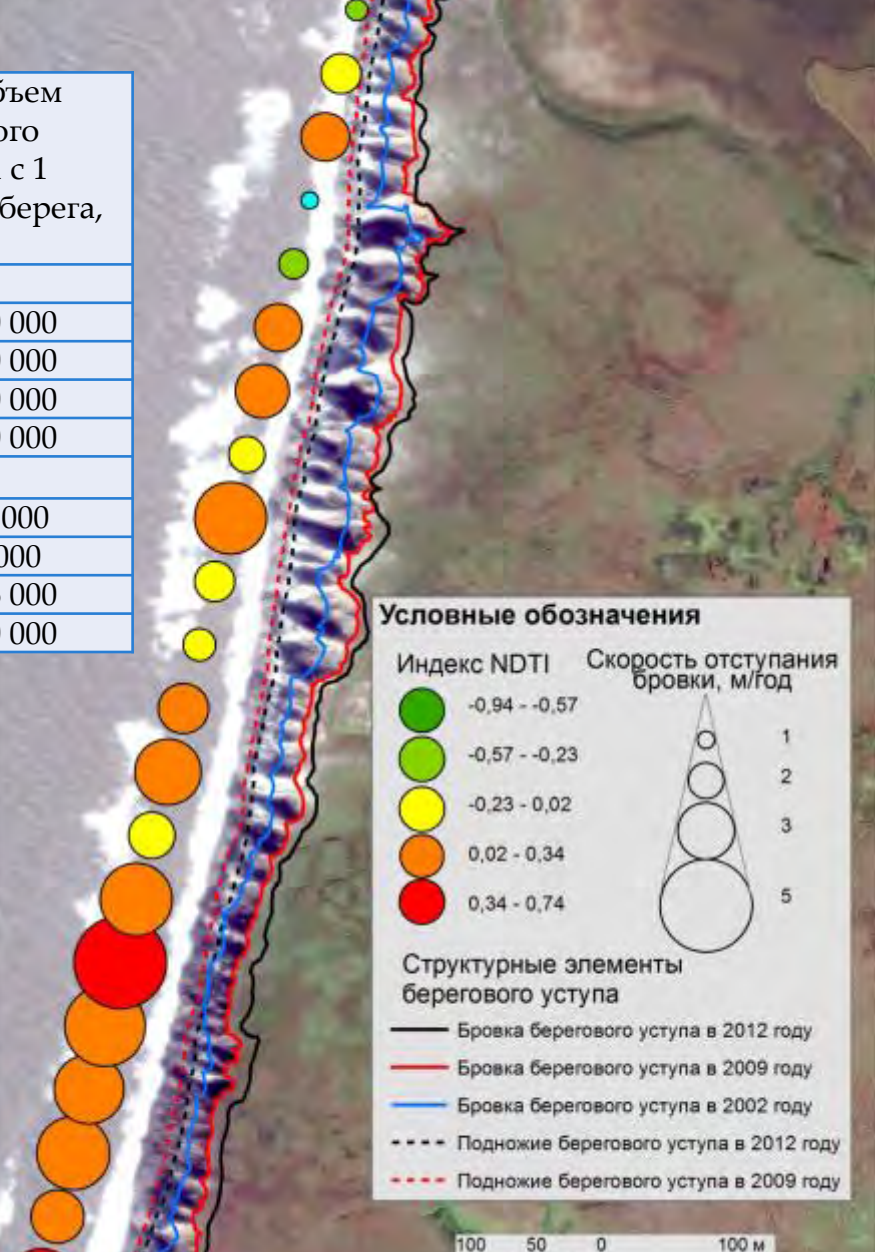
Дата получения данных, год/месяц/день	Источник данных	Элементы рельефа, о пространственном положении которых получены данные	Точность определения положения элементов рельефа
1948/07/03	<b>аэрофотоснимок</b> (пространственное разрешение 3 м)	- бровка берегового уступа и ТЦ	± 1,5 м
1968/08/16	<b>аэрофотоснимок</b> (пространственное разрешение 2 м)	- бровка берегового уступа и ТЦ	± 1,0 M
2002/07	GPS-съемка	- бровка берегового уступа и ТЦ, - линия подножия берегового уступа (линия, огибающая конусы обрушившегося на пляж материала)	± 0,1 м
2009/09/04	(пространственное	<ul> <li>- бровка берегового уступа и ТЦ,</li> <li>- бровки молодых уступов внутри термоцирков,</li> <li>- линия подножия берегового уступа (линия, огибающая конусы обрушившегося на пляж материала),</li> <li>- линия примыкания к береговому уступу конусов обрушившегося на пляж материала,</li> <li>- конуры конусов выноса из ТЦ в подзоне прибоя</li> </ul>	
2012/07/13	космические снимки FORMOSAT-2 (пространственное разрешение 2 м)	<ul> <li>бровка берегового уступа и ТЦ,</li> <li>бровки молодых уступов внутри ТЦ,</li> <li>линия подножия берегового уступа (линия, огибающая конусы обрушившегося на пляж материала),</li> <li>линия примыкания к береговому уступу конусов обрушившегося на пляж материала (дешифрируется частично),</li> <li>конуры конусов выноса из ТЦ в подзоне прибоя</li> </ul>	

# Скорости отступания бровки термоабразионного берегового уступа и объем выносимого материала на ключевом участке

Период, гг	Отступание	Скорость отступания	Средний объем			
	бровки	бровки берегового	вынесенного			
	берегового	уступа, м/год	материала с 1			
	уступа, м		погонного км берега,			
			м <sup>3</sup> /го <i>д</i>			
Участок берега южнее группы ТЦ						
1948-1968	25-63	1,3-3,2 (средняя – 2,3)	50 000 – 120 000			
1968-2002	35-110	1-3,2 (средняя – 2,1)	40 000 – 120 000			
2002 – 2009	12 - 25	1,7 – 3,6 (средняя – 2, 4)	68 000 – 140 000			
2009 – 2012	3 - 12	1 – 4 (средняя – 2,3)	40 000 – 160 000			
Участок берега севернее группы ТЦ						
1948-1968	20-40	1-2 (средняя – 1,5)	30 000 – 80 000			
1968-2002	10-35	0,3-1 (средняя – 0,7)	9 000 – 40 000			
2002 – 2009	7 - 20	1 - 2,9 (средняя – 1,8)	30 000 – 116 000			
2009 – 2012	4 - 8	1,3 – 2,7 (средняя – 1,7)	39 000 – 110 000			

# Осредненные для всего ключевого участка скорости отступания бровки и подножия берегового уступа, индекс NDTI

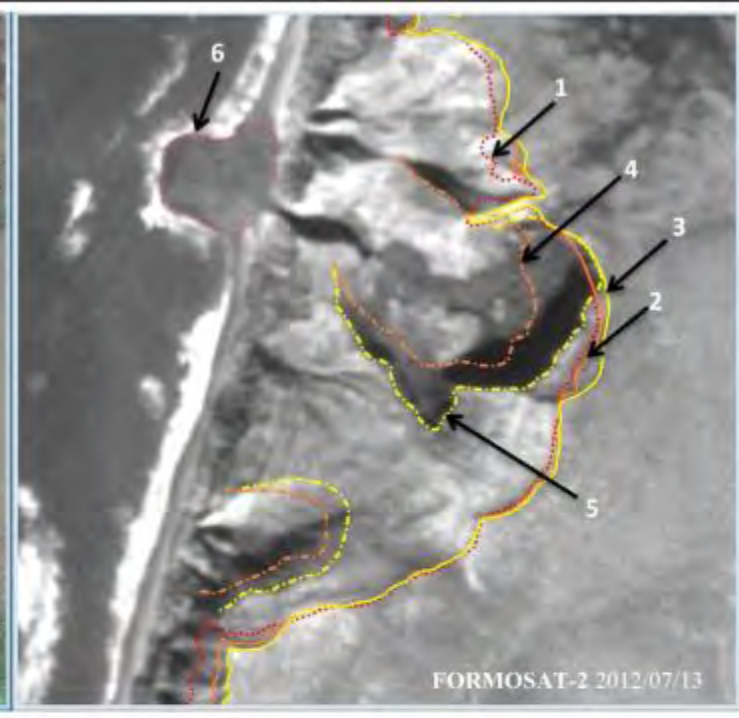
Период, гг	Средняя	Средняя	Среднее	
	скорость	скорость	значение	
	отступания	отступания	индекса	
	бровки	подножия	NDTI	
	берегового	берегового		
	уступа и ТЦ,	уступа, м/год		
	м/год			
2002 – 2009 гг.	1,93	0,84	0,38	
2009 – 2012 гг.	1,96	1,97	-0,03	



Перио <i>д,</i> гг	Бровка	Отсту пание, м	Скорость отступания бровки, м/год						
			средн.	макс.					
Северный термоцирк									
1948-1968	верхняя	12 - 17	0,7	0,9					
1968-2002	верхняя	70 - 120	2,8	3,5					
2002– 2009	верхняя	9,4 - 26,3	2,4	3,8					
2009-	верхняя	0 - 7,8	1,4	2,6					
2012	ккнжин	5 - 9	1,8	3					
Центральный термоцирк									
1948-1968	верхняя	77 - 120	4,9	6					
1968-2002	верхняя	5 - 90	1,3	2,6					
2002– 2009	верхняя	0 – 13	0,7	1,9					
2000	верхняя	0 - 22,4	2,1	7,5					
2009– 2012	ккнжин	8,8 - 45,5	6,3	15,1					
Южный термоцирк									
1948-1968	верхняя	10 - 115	3,1	5,8					
1968-2002	верхняя	0 - 90	1,3	2,6					
2002– 2009	верхняя	0 - 16,4	0,7	2,3					
2000	верхняя	0 - 13,1	1,6	4,4					
2009– 2012	ккнжин	15,3 - 43,6	6,2	14,5					

Скорости отступания бровок ТЦ на ключевом участке









### Выводы:

- 1. В условиях отсутствия возможности проведения регулярных полевых работ на стационарах, современная космическая съемка высокого пространственного разрешения представляет собой наиболее перспективный инструмент изучения морфологии морских береговых уступов и определения динамики процессов термоденудации и термоабразии.
- 2. С использованием космических снимков, полученных в рамках реализации проекта Геопортал МГУ, выявлены современные скорости процессов термоабразии и термоденудации на ключевом участке на западном побережье острова Колгуев. Осредненные скорости роста термоцирков в период 1948-2002 гг. составляли 2,4 м/год, в период 2002-2012 гг. 2,6 м/год.
- 3. Средние скорости отступания береговых уступов без термоцирков в период 2002-2012 гг. составляли 1,7-2,4 м/год. Эти скорости в 1,1-1,5 раза ниже средних скоростей отступания бровок термоцирков, связанных с вытаиванием залежей пластовых льдов.

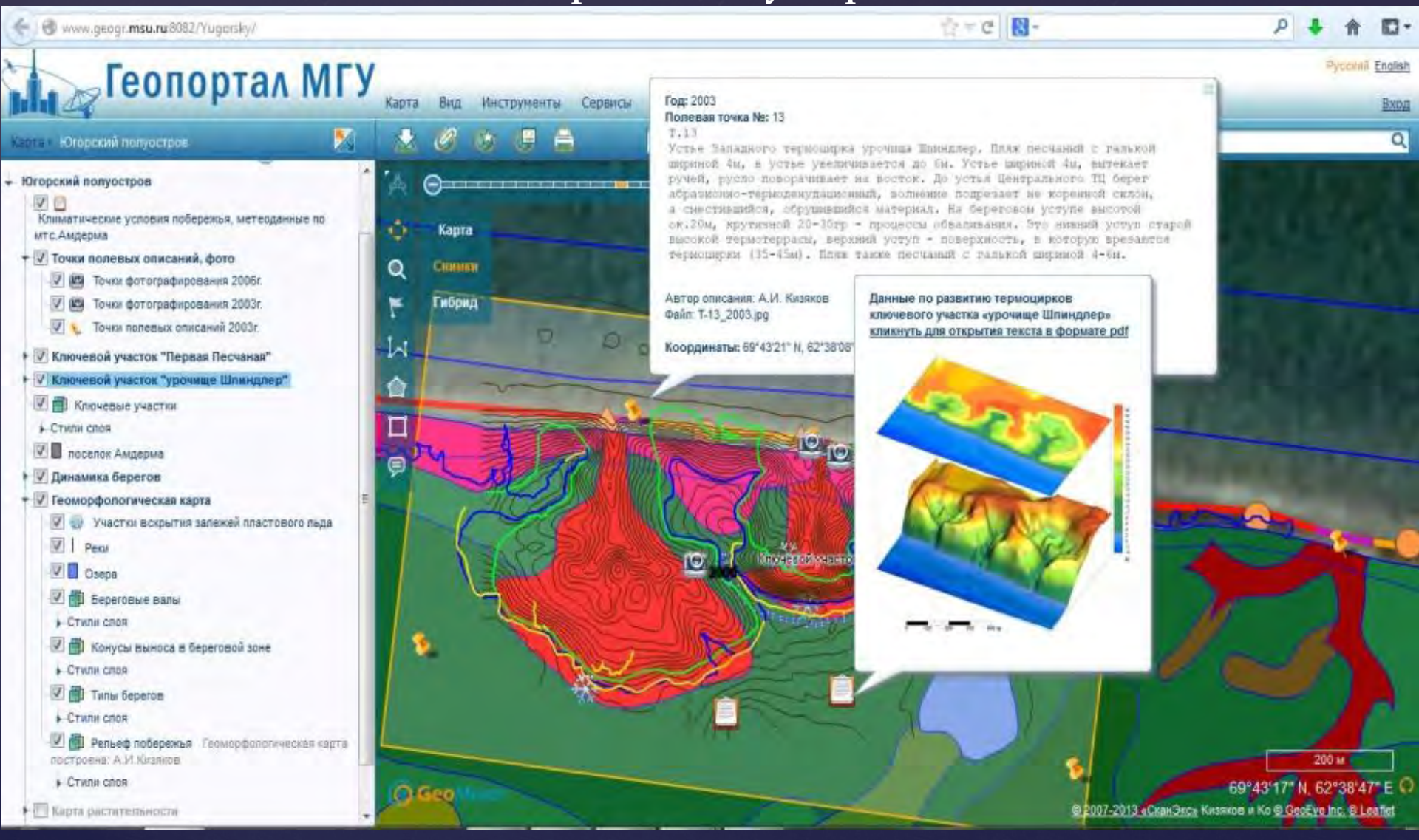
## Проблемы и перспективы:

- 1. Доступность космических снимков сверхвысокого пространственного разрешения, отсутствие обновляемых сверхвысокодетальных покрытий на публичных картографических сервисах (Яндекс-карты, Google Maps\Earth);
- 2. Отсутствие детальных ЦМР и исходной стереоинформации для их создания (для ненаселенных районов в целом);
- 3. Данные ДЗЗ обязательно должны дополняться материалами полевых исследований часто затруднено дешифрирование подножия береговых уступов;
- 4. Реализация мониторинга с минимальной периодичностью в 2 года;
- 5. Экстраполяция полученных результатов на другие территории.

# Геопортал МГУ, схожие исследования проводимые по территории Югорского полуострова



# Геопортал МГУ, схожие исследования проводимые по территории Югорского полуострова



### Спасибо за внимание!

Контактная информация: Кизяков Александр Иванович

akizyakov@mail.ru